



Analisis Profil Atap Baja WF dengan Metode LRFD Menggunakan SAP 2000 dan Idea StatiCa

Gali Pribadi^{1✉}, Yonas Prima Arga Rumbyarso²

Teknik Sipil Fakultas Teknik Universitas Krisnadwipayana Jakarta^(1,2)

DOI: 10.31004/jutin.v6i4.21662

✉ Corresponding author:

[galipribadi@yahoo.com]

Article Info

Abstrak

Kata kunci:

Kata kunci ; Analisa Atap Baja WF

Kata kunci ; Metode LRFD

Kata kunci ; SAP 2000

Kata kunci ; Rangka Baja

Atap merupakan salah satu komponen utama dalam sebuah bangunan gedung untuk melindungi dari panas dan hujan. Atap juga merupakan salah satu komponen arsitektural yang menambah keindahan sebuah bangunan gedung. Maka dari itu setiap bangunan gedung harus memiliki atap. Saat ini banyak digunakan atap dengan baja sebagai rangka strukturnya. Mengingat bahan material kayu sudah dianggap mahal untuk digunakan saat ini. Selain itu, material baja memiliki ketahanan waktu yang lebih lama dibanding dengan material kayu, sehingga baja menjadi alternatif yang dianggap paling baik untuk saat ini. Adapun judul pada penulisan ini yaitu "Analisis Struktur Atap Profil Baja WF Dengan Metode LRFD". Analisis ini dilakukan guna mengetahui kekuatan dari struktur kuda – kuda baja WF dan sambungannya. Metode analisa yang digunakan dalam penelitian ini adalah metode LRFD yang dilakukan dengan bantuan program SAP 2000 v20 untuk menghitung statika dari konstruksi atap tersebut dan menggunakan bantuan program *Idea StatiCa* untuk menghitung sambungannya. Berdasarkan hasil yang diperoleh, kuda-kuda yang menggunakan profil WF 200.100.5,5.8 ini mampu menahan gaya-gaya yang bekerja pada struktur kuda - kuda tersebut, serta sambungan mencukupi untuk menahan gaya – gaya yang terjadi.

Abstract

The roof is one of the main components in a building to protect it from heat and rain. The roof is also an architectural component that adds to the beauty of a building. Therefore, every building must have a roof. Currently, many steel roofs are used as the structural frame. Considering that wooden materials are considered expensive to use nowadays. Apart from that, steel material has a longer durability than wood material, so steel is considered the best alternative at the moment. The title of this article is "Structure Analysis of WF Steel Profile Roofs Using the LRFD Method". This analysis

Keywords:

Keyword ; WF steel roof analysis

Keyword ; LRFD method

Keyword ; SAP 2000

Keyword ; Steel Frame

was carried out to determine the strength of the WF steel truss structure and its connections. The analysis method used in this research is the LRFD method which is carried out with the help of the SAP 2000 v20 program to calculate the statics of the roof construction and using the help of the Idea StatiCa program to calculate the connections. Based on the results obtained, the trusses that use the WF 200.100.5,5.8 profile are able to withstand the forces acting on the truss structure, and the connections are sufficient to withstand the forces that occur.

1. INTRODUCTION

Atap merupakan salah satu komponen utama dalam sebuah bangunan gedung untuk melindungi dari panas dan hujan. Keuntungan memanfaatkan rangka baja untuk konstruksi bangunan adalah mudah dalam pemasangan, praktis, kuat dan tahan lama. Baja juga tidak akan terpengaruh oleh perubahan cuaca yang ekstrim. Baja bisa didesain menjadi tidak mudah karatan dan menjamur. Ditambah lagi dapat dibuat baja tahan air, anti rayap, tidak mudah keropos dan memiliki kekuatan leleh yang besar. Adapun material yang digunakan untuk kuda-kuda atap ini yaitu material baja WF. Konstruksi atap baja WF yang di kerjakan di maksudkan untuk mendukung beban penutup atap, beban berat sendiri, beban sekunder seperti beban angin, beban pekerja dan beban lainnya yang kemungkinan bekerja

2. METHODS

Analisis Baja WF

Data Profil WF 200X100, Panjang batang = 8.375 m, b = 10 cm, h = 20 cm, tf = 0,8 cm, tw = 0,55 cm, $I_x = 1840 \text{ cm}^4$, $I_y = 134 \text{ cm}^4$

Stabilitas Terhadap Tekuk lokal

Suatu penampang harus memiliki kestabilan dalam menghadapi kemungkinan tekuk lokal. Kemampuan suatu balok harus stabil tergantung pada ukuran kelangsungan masing-masing elemen pelatnya.

Batasan kelangsungan pelat sayap dan badan dalam stabilitas terhadap tekuk lokal :

$$\lambda_{pf} = \frac{170}{\sqrt{f_y}} = \frac{170}{\sqrt{240}} = 10,97 \text{ MPa}$$

$$\lambda_{pw} = \frac{1680}{\sqrt{f_y}} = \frac{1680}{\sqrt{240}} = 108,44 \text{ MPa}$$

Kelangsungan pelat sayap dan badan WF 200.100.5,5.8

$$\lambda_f = \frac{b}{tf} = \frac{10}{(0,8 \times 2)} = 6,25 \text{ flens} < \lambda_{pf} \text{ (penampang kompak)}$$

$$\lambda_w = \frac{hw}{tw} = \frac{(20-2 \times 0,8)}{0,55} = 33,45 \text{ web} < \lambda_{pw} \text{ (penampang kompak)}$$

Stabilitas Terhadap Tekuk Lateral

Stabilitas tekuk lateral tergantung pada panjang bentang dimensi batang. Apabila penampang balok tidak memenuhi syarat, maka alternatif untuk mengatasinya yaitu dengan memperbesar penampang atau pemberian pengekang lateral dengan jarak tertentu. Batasan bentang diijinkan dalam stabilitas terhadap tekuk lateral:

$$L_p = 1,76 r_y \sqrt{\frac{E}{f_y}} = 1,76 \sqrt{\frac{E I_y}{A f_y}} = 1,76 \sqrt{\frac{2100000 \times 134}{27,16 \times 2400}} = 115,64$$

Jarak pengekang lateral ijin (L_p) = 115,64 cm

Jarak pengekang lateral (L) = 50 cm < L_p

Jarak pengekang lateral cukup dalam menopang stabilitas balok terhadap tekuk lateral

Kapasitas Momen Nominal

Dalam desain plastis, kapasitas momen yang diperhitungan adalah kapasitas momen plastis, sehingga kita menggunakan modulus plastisitas penampang. Berdasarkan perhitungan stabilitas baik terhadap tekuk lokal maupun lateral, penampang memenuhi untuk dihitung secara plastis.

Modulus plastis:

$$\begin{aligned} Z_x &= (b \cdot t_f) \cdot (h - t_f) + (t_w \cdot (h/2 - t_f) 2) \\ &= (10 \cdot 0,8) \cdot (20 - 0,8) + (0,55) \cdot (20/2 - 0,8) 2 \\ &= 200,152 \text{ cm}^3 \end{aligned}$$

$$\begin{aligned} Z_y &= b x (b / 2 x t_f) + t_w 2x (h - 2 t_f) \\ &= 10 x (10/2 x 0,8) + 0,552 x (20 - 2 x 0,8) \\ &= 45,566 \text{ cm}^3 \end{aligned}$$

Momen ultimate :

$$M_u = 6507,45 \text{ kgm}$$

Gaya geser maksimum :

$$V_u = 2306,02 \text{ kg}$$

Kontrol kapasitas momen nominal penampang

$$M_u < \phi M_{nx}$$

$$6507,45 \text{ kgm} < \phi M_p$$

$$6507,45 \text{ kgm} < 0,9 \cdot F_y \cdot Z_x$$

$$6507,45 \text{ kgm} < 0,9 \times 2400 \times 200,152$$

$$6507,45 \text{ kgm} < 432328,32 \dots \text{ok}$$

Penampang balok mampu menahan momen ultimate

Kapasitas Geser Nominal

Komponen lentur mengakibatkan munculnya gaya geser, pelat badan merupakan elemen utama dalam memikul gaya geser pada penampang profil WF. Kekuatan geser V_n dari penampang didasarkan pada lelehan geser keseluruhan tersebut. Rasio kerampingan terhadap tekuk pada badan akibat geser

$$\frac{h}{t_w} \leq 1,10 \sqrt{\frac{k_n E}{f_y}} = \frac{20}{0,55} \leq 1,10 \sqrt{\frac{5 \times 2100000}{2400}} = 36,36 \leq 72,76$$

karena memenuhi syarat maka $V_n = 0,6 F_y A_w$

$$V_n = 0,6 F_y A_w$$

$$= 0,6 \times 2400 \times (0,55 \times 33,45)$$

$$= 26496 \text{ kg}$$

Kontrol kapasitas geser penampang

$$V_u = 2306,02 \text{ kg}$$

$$V_u < \phi V_n$$

$$2306,02 < 0,9 \times 26496$$

$$2306,02 < 23846,40 \text{ kg}$$

penampang mampu menahan gaya geser ultimate.

Stabilitas Terhadap Gaya Tekan Tumpu

Pemberian beban terpusat pada balok memungkinkan terjadinya perubahan bentuk pada balok, dalam kasus ini ditinjau dari tiga kategori :

Masing-masing kategori berikut memiliki kuat tumpu nominal pelat badan (R_b) yang berbeda-beda. Gaya tumpu pelat pada badan memenuhi : $R_u \leq \phi R_n$. Dari ketiga kategori diambil nilai R_b terkecil.

Lentur pelat sayap

$$R_b = 6,25 \times t_f^2 \times f_y$$

$$R_b = 6,25 \times 0,8^2 \times 2400$$

$$R_b = 9600 \text{ kg}$$

Pelelehan lokal badan akibat beban terpusat saja.

Nilai n diambil dari lebar gording CNP 125x50 sebagai landasan beban terpusat, sebesar 5 cm.

$$R_b = (2,5 k + N) t_f t_w$$

$$R_b = (2,5 \cdot (0,8 + 1,1) + 5) \cdot 2400 \cdot 0,55$$

$$R_b = 12870 \text{ kg}$$

Kontrol kapasitas penampang terhadap gaya tumpu

Nilai gaya tumpu perlu (R_u) diambil dari hasil program SAP 2000 v20

$$R_u = 3127,29 \text{ kg}$$

$$R_u \leq \phi \cdot R_n$$

$$3127,29 \leq 0,9 \times 12870$$

$$3127,29 \leq 11853 \text{ kg}$$

Penampang tidak mengalami perubahan bentuk akibat gaya tumpu

Stabilitas Terhadap Aksi Medan Tarik

Jarak antar pengaku (a) = 50 cm

$$\text{Jika } \frac{h}{t_w} \leq 260$$

$$\text{Tinggi pengaku} = h_b - 2 \cdot t_f = 20 - (2 \cdot 0,8) = 18,4 \text{ cm}$$

$$\begin{aligned} \text{Syarat} \quad &: \frac{a}{h} \leq \left(\frac{260}{\frac{h}{t_w}} \right)^2 \leq 3.0 \\ &= \frac{50}{18,4} \leq \left(\frac{260}{\frac{18,4}{0,55}} \right)^2 \leq 3.0 \\ &= 2,72 \leq 60,4 \leq 3.0 \end{aligned}$$

Karena persamaan diatas tidak dipenuhi maka aksi medan tarik tidak perlu dihitung.

Kuat tekuk geser elasto-plastis :

Kuat tekuk geser elasto-plastis pelat badan:

$$C_v = 1,10 \cdot \sqrt{\frac{K_n \cdot f_y}{\left(\frac{h}{t_w}\right)}} = 1,10 \cdot \sqrt{\frac{5.210000}{\left(\frac{18,4}{0,55}\right)}} = 2,17$$

$$V_n = 0,06 \cdot f_y \cdot A_w \\ = 0,06 \cdot 2400 \cdot (0,55 \cdot 33,45) = 5422,232$$

$$V_n \leq C_v \cdot (0,6 \cdot f_y) \cdot A_w$$

$$V_n \leq 2,17 \cdot (0,6 \cdot 2400) \cdot 18,3975$$

$$5422,232 \leq 57617$$

Kuat tekuk geser elastik :

$$C_v = 1,5 \cdot \frac{K_n \cdot E}{f_y} \cdot \frac{1}{\left(\frac{h}{t_w}\right)^2}$$

$$C_v = 1,5 \cdot \frac{5.210000}{24000} \cdot \frac{1}{\left(\frac{18,4}{0,55}\right)^2} = 5,86$$

$$V_n = 0,06 \cdot f_y \cdot A_w \\ = 0,06 \cdot 2400 \cdot (0,55 \cdot 33,45) = 14167,82$$

$$V_n \leq C_v \cdot (0,6 \cdot f_y) \cdot A_w$$

$$V_n \leq 5,86 \cdot (0,6 \cdot 2400) \cdot 18,3975$$

$$14167,82 \leq 155245,5$$

Kekuatan Terhadap Interaksi Geser dan Lentur

Interaksi geser dan lentur dinyatakan dalam persamaan berikut:

$$\frac{M_u}{\phi M_n} + 0,625 \frac{V_u}{\phi V_n} \leq 1,375$$

$$\frac{18639,6 \text{ kgm}}{432328,32} + 0,625 \frac{7196,2 \text{ kg}}{23846,40 \text{ kg}} \leq 1,375$$

$$0,232 < 1,375$$

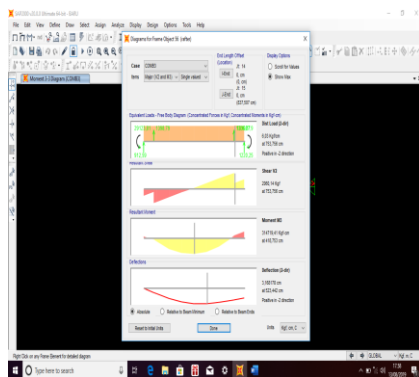
Penampang mampu menahan gaya akibat kombinasi geser dan lentur.

Kontrol Lendutan

Defleksi yang diizinkan terjadi

$$\Delta_{ijin} = \frac{L}{240} = \frac{837,5}{240} = 3,48 \text{ cm (SNI 1729:2002)}$$

Defleksi yang maksimum yang terjadi pada bentang



Sumber : Analisa SAP 2000 v20

Gambar 2.2 Defleksi Pada Pertengahan Bentang.

$$\Delta = 3,1 \text{ cm} < \Delta_{\text{izin}} = 3,48 \text{ cm} \dots \text{ok}$$

Kolom Baja (WF)

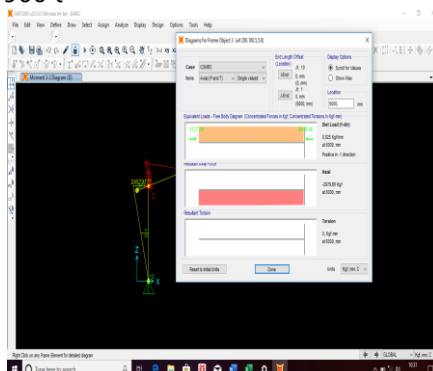
Desain kolom yang menggunakan profil baja WF (profil balok) adalah balok WF yang berperilaku sebagai kolom yang menerima beban aksial & gaya momen.

Profil WF = 200x100x5,5.8

Tinggi kolom = 6 m = 600cm

Gaya tekan akibat beban terfaktor:

$$N_u = 2979,66 \text{ kg} = 2,97966 \text{ t}$$



Sumber : Analisis SAP 2000 v20

Gambar 2.3 Diagram Kolom

Kelangsungan Penampang dan Analisa Komponen Struktur Tekan

$$\text{Flens } \frac{\frac{b}{2}}{t_f} \leq \lambda r = \frac{250}{\sqrt{f_y}}$$

$$\frac{\frac{100}{2}}{8} \leq \frac{250}{\sqrt{240}}$$

$$6,25 \leq 16,14$$

$$\text{Web } \frac{h}{t_w} \leq \lambda r = \frac{665}{\sqrt{f_y}}$$

$$\frac{200}{5,5} \leq \frac{665}{\sqrt{240}}$$

$$36,36 \leq 42,9$$

Kondisi tumpuan jepit-rol tanpa rotasi, k = 0,1

Arah sumbu kuat (sumbu x) :

$$\lambda_x = \frac{k \cdot L_x}{r_x} = \frac{0,1 \cdot 6000}{8,24} = 582,524$$

$$\lambda_{cx} = \frac{\lambda_x}{\pi} \sqrt{\frac{f_y}{E}} = \frac{582,524}{3,14} \sqrt{\frac{240}{2100000}} = 0,26$$

$$0,25 < 0,26 < 1,2 \rightarrow \omega_x = \frac{1,43}{1,6 - 0,67 \lambda_{cx}}$$

$$\omega_x = \frac{1,43}{1,6 - 0,67 \cdot 0,26} = 1$$

$$\begin{aligned} N_n &= Ag \cdot f_{cr} = Ag \cdot \frac{f_y}{\omega_x} = 271,6 \cdot \frac{240}{1} = 65,184 \text{ t} = 65184 \text{ kg} \\ \frac{N_u}{\phi_c \cdot N_n} &= \frac{3,85816}{0,85 \cdot 65,184} = 0,1 < 1 \\ \text{Arah sumbu kuat (sumbu y) :} \\ \lambda_y &= \frac{k \cdot L_y}{r_y} = \frac{0,1 \cdot 6000}{2,22} = 2702,7 \\ \lambda_{cy} &= \frac{\lambda_y}{\pi} \sqrt{\frac{f_y}{E}} = \frac{2702,7}{3,14} \sqrt{\frac{240}{2100000}} = 0,98 \\ 0,25 < 0,98 < 1,2 &\rightarrow \omega_x = \frac{1,43}{1,6 - 0,67 \lambda_{cy}} \\ \omega_y &= \frac{1,43}{1,6 - 0,67 \cdot 0,98} = 1,52 \\ N_n &= Ag \cdot f_{cr} = Ag \cdot \frac{f_y}{\omega_y} = 271,6 \cdot \frac{240}{1,52} = 42,8842 \text{ t} \\ &= 42884,21 \text{ kg} \\ \frac{N_u}{\phi_c \cdot N_n} &= \frac{2,97966}{0,85 \cdot 42,88421} = 0,08 < 1 \end{aligned}$$

Jadi Profil WF 200.100.5.8 cukup untuk memikul beban terfaktor (N_u) 3858,16 kg.

3. RESULT AND DISCUSSION

Analisis gording

PenutupAtap : AtapZ/A0.40mm(berat=10 kg/m²

Gording : CNP 125.50.20.2,3(berat=4.52 kg/m)

I_x : 137 cm⁴

I_y : 20,6 cm⁴

Z_x : 21,9 cm³

Z_y : 6,22 cm³

Jarak kuda – kuda : 6m

Jarak gording : 1,4m

Sudut kemiringan : 15°

Tekanan angina : 25 kg/m²

Jumlah beban mati (kg/m) :

Penutup Atap : berat penutup atap . jarak
gording

$$= 10 \text{ kg/m}^2 \times 1,4 \text{ m} = 14 \text{ kg/m}$$

Gording : 4,52 kg/m

$$\text{Total} : 4,52 + 14 = 18,52 \text{ kg/m}$$

bebannya hidup (kg/m):

$$\begin{aligned} \text{Beban} \times \text{jarak kuda-kuda} &= 100 \cdot 1,4 = 140 \\ &\text{kg/m} \end{aligned}$$

Beban angin:

Angin tekan:

$$C = (0,02 \times \alpha) - 0,4$$

$$= (0,02 \times 15) - 0,4$$

$$= -0,1$$

$$\begin{aligned} W_1 &= C \times P \times d \\ &= -0,1 \times 25 \times 1,4 \\ &= -3,5 \text{ kg/m}' \end{aligned}$$

Angin Hisap :

$$C = -0,4$$

$$\begin{aligned} W_2 &= C \times P \times d \\ &= -0,4 \times 25 \times 1,4 \\ &= -14 \text{ kg/m}' \end{aligned}$$

Dimana :

P = tekanan angin

C = Koefisien tekanan angin

D = jarak antar gording

Akibat Beban mati

$$q = 18,52 \text{ kg/m}$$

$$q_x = q \cdot \cos 15 = 18,52 \cdot (\cos 15) = 17,89 \text{ kg/m}$$

$$q_y = q \cdot \sin 15 = 18,52 \cdot (\sin 15) = 4,79 \text{ kg/m}$$

$$M_x = \frac{1}{8} \cdot (17,89) \cdot (6)^2 = 80,505 \text{ kg.m}$$

$$M_y = \frac{1}{8} \cdot (4,79) \cdot (6)^2 = 21,555 \text{ kg.m}$$

Akibat beban hidup

$$q = 140 \text{ kg/m}$$

$$q_x = q \cdot \cos 15 = 140 \cdot (\cos 15) = 0,97 \text{ kg/m}$$

$$q_y = q \cdot \sin 15 = 140 \cdot (\sin 15) = 0,26 \text{ kg/m}$$

$$M_x = \frac{1}{8} \cdot (0,97) \cdot (6)^2 = 4,36 \text{ kg.m}$$

$$M_y = \frac{1}{8} \cdot (0,26) \cdot (6)^2 = 1,17 \text{ kg.m}$$

Akibat beban angin:

Beban angin hanya bekerja pada sumbu x, maka hanya ada M_x

$$\text{Angin tekan} : \frac{1}{8} \cdot (-3,5) \cdot (6)^2 = -15,75 \text{ kg.m}$$

$$\text{Angina hisap} : \frac{1}{8} \cdot (-14) \cdot (6)^2 = -63 \text{ kg.m}$$

Kombinasi Beban

Tabel 4.1. Kombinasi Beban

Kombinasi Beban		Arah x (kg.m)	Arah y (kg.m)
1	1,4 D	112.707	30.177
2	1,2 D + 0,5 La	98.7885	26.451
3	1,2 D + 1,6 La + 0,8 W	53.19	27.738
4	1,2 D + 1,3 W + 0,5 La	14.706	25.866
5	0,9 D ± 1,3 W	-9.4455	19.3995
		154.3545	19.3995

Sumber: SNI 03-1729-2015 DFBK
Maka, $M_{ux} = 154.3545 \text{ kg.m} = 1,543545 \text{ kg.cm}$

$$M_{uy} = 30.177 \text{ kg.m} = 0,30177 \text{ kg.cm}$$

Penampang kompak:

Sumber: SNI 03-1729-2015 DFBK

$$\text{Maka, } M_{ux} = 154.3545 \text{ kg.m} = 1,543545 \text{ kg.cm}$$

$$M_{uy} = 30.177 \text{ kg.m} = 0,30177 \text{ kg.cm}$$

Penampang kompak:

$$M_{nx} = z_x \cdot f_y = 21,9 \cdot 2400 = 52,560 \text{ kg.cm}$$

$$M_{ny} = z_y \cdot f_y = 6,22 \cdot 2400 = 14,928 \text{ kg.cm}$$

Untuk mengatasi masalah puntir, maka M_{ny} dapat dibagi 2 sehingga :

$$\frac{\frac{M_{ux}}{\Phi_b \cdot M_{nx}} + \frac{M_{uy}}{\Phi_b \cdot M_{ny}}}{2} = \frac{1,543545}{\Phi_b \cdot 52,560} + \frac{0,30177}{\Phi_b \cdot \frac{14,928}{2}}$$

$$= 0,033 + 0,045 = 0,078 < 1 \dots \text{ok}$$

Balok Tarik (Trackstang)

Trakstang berfungsi sebagai batang tarik yang berfungsi untuk memperkecil lendutan arah y. Perhitungan ini menggunakan Program bantu SAP 2000.

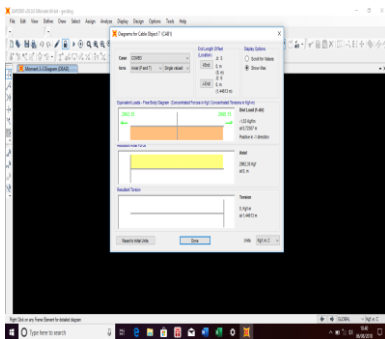
Perencanaan Trekstang ini menggunakan jenis besi bulat (besi beton) berukuran $\varnothing 16 \text{ mm}$, panjang 140 cm, dengan Tegangan Leleh (f_y) = 2800 kg/cm².

Konrol syarat diameter minimum:

$$D > \frac{L}{500}$$

$$1,6 > \frac{140}{500}$$

$$1,6 \text{ cm} > 0,28 \text{ mm}$$



Sumber : Analisis SAP 2000

Gambar 2.4 Gaya yang terjadi pada trekstang

Kontrol tegangan :

$$P = \text{gaya aksial} = 2962.35 \text{kg}$$

$$A = \text{Luas penampang bersih} = \pi \cdot r^2$$

$$= 3,14 \cdot 0,8^2$$

$$= 2,011 \text{ cm}^2$$

$$\sigma = \frac{P}{A} \leq f_y$$

$$\sigma = \frac{2962.35}{2.011} \leq 2800$$

$$\sigma = 1473,1 \text{ kg/cm}^2 < 2800 \text{ kg/cm}^2$$

Analisis Ikatan Angin

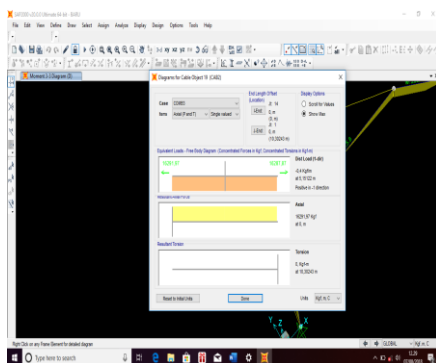
Perhitungan *Trakstang* menggunakan program bantu SAP 2000. Perencanaan *Trekstang* ini menggunakan jenis besi beton berukuran $\varnothing 16$ mm, panjang 1030,24 cm, dengan tegangan leleh (f_y) = 2800 kg/cm².

Kontrol syarat diameter minimum:

$$D > \frac{L}{500}$$

$$1,6 > \frac{1030,243}{500}$$

$$1,6 \text{ cm} < 2,06 \text{ cm}$$



Sumber : Analisis SAP 2000

Gaya yang terjadi pada ikatan angin

Kontrol tegangan :

$$P = \text{gaya aksial} = 16291,97 \text{kg}$$

$$A = \text{Luas penampang bersih} = \pi \cdot r^2$$

$$= 3,14 \cdot 0,8^2$$

$$= 2.011 \text{ cm}^2$$

$$\sigma = \frac{P}{A} \leq f_y$$

$$\sigma = \frac{16291,97 \text{kg}}{2.011} \leq 2800$$

$$\sigma = 8107,07 \text{ kg/cm}^2 < 2800 \text{ kg/cm}^2$$

Sambungan A

Sambungan pada struktur ini menggunakan Idea StatiCa 9. Gaya-gaya yang diinput yaitu gaya axial, gaya geser dan momen yang didapat dari hasil output SAP 2000 v20 pada titik bentang sambungan yang dihitung sambungannya.

Gaya – gaya yang diinput pada sambungan

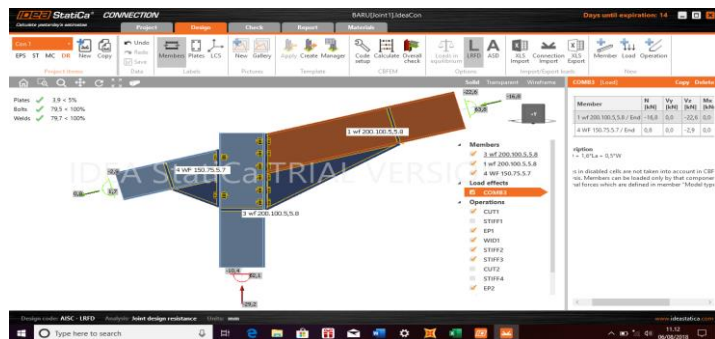
2000 v20 pada titik bentang sambungan yang dihitung sambungannya.

Tabel 4.2. Gaya-gaya yang diinput pada sambungan

Frame	Station	OutputCase	CaseType	P	V2	M3
1	0	COMB3	Combination	-16,56	-22,14	63,8163
		COMB4	Combination	-25,221	-20,564	13,11
4	1,15558	COMB3	Combination	0,808	2,931	-1,6933

Sumber: Output SAP 2000 v20

Sumber: Output SAP 2000



Sumber: Idea StatiCa 9

Input Gaya pada Idea StatiCa

Setelah penginputan data-data yang diperlukan Idea StatiCa 9 langkah selanjutnya kita melakukan pengecekan pada *Joint Design Resistance*.

Kontrol Plat

Adapun hasil analisis plat dari output Program Idea StatiCa 9 sebagai berikut.

Hasil Analisis plat



Sumber : Hasil Analisa Idea StatiCa 9

Kontrol baut

Adapun hasil Analisa Baut dari output Program Idea StatiCa 9 sebagai berikut.

Hasil Analisis baut

Shape	Item	Grade	Load	P _u kN	V _u kN	S _u mm ²	Section Area mm ²	Stress MPa
B62	16 AZ31B - 1	COMBI	74.3	2.7	56.8	75.5	4.5	- OK
B62	16 AZ31B - 1	COMBI	74.3	1.8	81.6	44.2	2.7	- OK
B62	16 AZ31B - 1	COMBI	74.3	1.7	81.6	43.9	2.7	- OK
B62	16 AZ31B - 1	COMBI	93.3	8.3	81.6	10.6	6.6	- OK
B62	16 AZ31B - 1	COMBI	93.3	8.3	81.6	10.6	6.6	- OK
B62	16 AZ31B - 1	COMBI	2.2	1.1	131	2.4	1.9	- OK
B62	16 AZ31B - 1	COMBI	0.2	0.8	81.6	0.2	0.7	- OK
B62	16 AZ31B - 1	COMBI	0.2	0.8	81.6	0.2	0.7	- OK
B62	16 AZ31B - 1	COMBI	1.5	8.7	81.6	1.8	15.8	- OK
B62	16 AZ31B - 1	COMBI	1.5	8.7	81.6	1.8	15.8	- OK
B62	16 AZ31B - 1	COMBI	0.2	1.7	81.6	0.2	1.2	- OK
B62	16 AZ31B - 1	COMBI	0.2	1.7	81.6	0.2	1.2	- OK
B62	16 AZ31B - 1	COMBI	0.4	1.7	79.0	0.8	3.1	- OK
B62	16 AZ31B - 1	COMBI	0.4	1.7	79.0	0.8	3.1	- OK
B62	16 AZ31B - 1	COMBI	0.7	1.2	81.6	0.3	2.2	- OK
B62	16 AZ31B - 1	COMBI	2.9	2.9	44.2	3.1	8.5	- OK
B62	16 AZ31B - 1	COMBI	2.9	2.9	44.3	3.2	8.5	- OK

Sumber : Hasil Analisa Idea StatiCa 9

Analisis sambungan Las

Adapun hasil Analisa Las dari output Program Idea StatiCa 9 sebagai berikut.

Hasil Analisis sambungan las

Project:	PEM	Customer:	Staticeo						
Project no:		Customer no:							
Author:		Design no:							
Welds									
Item	Edge	Xu	T ₀ (mm)						
			L ₀ (mm)						
			L ₁ (mm)						
			L ₂ (mm)						
			F ₀ (N)						
			gF ₀ (N/mm)						
			UT (%)						
			Status						
EP1	1 wf 200 100.5.5-w-1	Baja	<2.5	15	29	9.6	24.8	38.8	OK
EP1	1 wf 200 100.5.5-w-1	Baja	<2.5	77	14	1.5	26.0	40.0	OK
EP1	1 wf 200 100.5.5-w-1	Baja	<3.0	190	24	16.3	20.5	79.7	OK
EP1	WID1a	Baja	<4.0	190	24	16.3	20.5	79.7	OK
1 wf 200 100.5.5-w-ff 1	WID1a	Baja	<4.0	185	26	13.2	17.3	76.2	OK
3 wf 200 100.5.5-w-ff 1	STIFF2a	Baja	<4.0	180	26	13.2	17.3	77.0	OK
3 wf 200 100.5.5-w-ff 1	STIFF2a	Baja	<4.0	599	4.3	11.2	38.4	OK	
3 wf 200 100.5.5-w-ff 1	STIFF2a	Baja	<4.0	599	25	4.3	11.2	38.4	OK
3 wf 200 100.5.5-w-ff 1	STIFF2a	Baja	<4.0	671	52	4.6	30.1	15.3	OK
3 wf 200 100.5.5-w-ff 1	STIFF2a	Baja	<4.0	671	61	4.6	30.1	15.3	OK
3 wf 200 100.5.5-w-ff 1	STIFF2a	Baja	<4.0	57	14	1.0	13.9	78.8	OK
1 wf 200 100.5.5-w-ff 1	WID1b	Baja	<4.0	125	31	23.1	30.9	75.8	OK
3 wf 200 100.5.5-w-ff 1	STIFF2a	Baja	<4.0	13	3	2.5	3.3	76.9	OK
3 wf 200 100.5.5-w-ff 1	STIFF2a	Baja	<4.0	13	36	2.5	3.3	76.9	OK
3 wf 200 100.5.5-w-ff 1	STIFF2a	Baja	<4.0	47	24	19.8	21.0	75.3	OK
3 wf 200 100.5.5-w-ff 1	STIFF2a	Baja	<4.0	47	24	16.0	21.2	75.4	OK
3 wf 200 100.5.5-w-ff 1	STIFF2a	Baja	<4.0	184	23	9.5	16.5	75.6	OK
3 wf 200 100.5.5-w-ff 1	STIFF2a	Baja	<4.0	184	23	11.3	16.5	75.6	OK
3 wf 200 100.5.5-w-ff 1	STIFF2a	Baja	<4.0	47	24	5.3	16.5	28.8	OK
3 wf 200 100.5.5-w-ff 1	STIFF2a	Baja	<4.0	47	24	10.1	22.9	44.1	OK
3 wf 200 100.5.5-w-ff 1	STIFF2b	Baja	<4.0	47	24	16.0	21.2	75.3	OK
3 wf 200 100.5.5-w-ff 1	STIFF2b	Baja	<4.0	47	24	16.0	21.2	75.3	OK
3 wf 200 100.5.5-w-ff 1	STIFF2b	Baja	<4.0	183	23	11.0	14.6	75.1	OK
3 wf 200 100.5.5-w-ff 1	STIFF2b	Baja	<4.0	184	23	9.5	12.5	75.6	OK
3 wf 200 100.5.5-w-ff 1	STIFF2b	Baja	<4.0	47	24	10.3	22.9	44.8	OK
1 wf 200 100.5.5-w-ff 1	STIFF3a	Baja	<4.0	47	24	5.4	18.2	44.8	OK
1 wf 200 100.5.5-w-ff 1	STIFF3a	Baja	<4.0	47	24	3.4	11.1	16.7	OK
1 wf 200 100.5.5-w-ff 1	STIFF3a	Baja	<4.0	47	24	3.0	14.8	20.4	OK
1 wf 200 100.5.5-w-ff 1	STIFF3a	Baja	<4.0	184	23	16	15.4	10.6	OK
1 wf 200 100.5.5-w-ff 1	STIFF3a	Baja	<4.0	184	23	1.7	13.3	12.0	OK
1 wf 200 100.5.5-w-ff 1	STIFF3a	Baja	<4.0	47	24	2.1	14.9	25.5	OK
1 wf 200 100.5.5-w-ff 1	STIFF3a	Baja	<4.0	47	24	17.0	14.3	OK	
1 wf 200 100.5.5-w-ff 1	STIFF3a	Baja	<4.0	47	24	3.0	14.4	20.4	OK
1 wf 200 100.5.5-w-ff 1	STIFF3b	Baja	<4.0	47	24	3.4	17.1	19.9	OK
1 wf 200 100.5.5-w-ff 1	STIFF3b	Baja	<4.0	184	23	1.7	13.3	12.0	OK
1 wf 200 100.5.5-w-ff 1	STIFF3b	Baja	<4.0	184	23	16	15.4	10.6	OK
1 wf 200 100.5.5-w-ff 1	STIFF3b	Baja	<4.0	47	24	16.0	21.3	75.3	OK
1 wf 200 100.5.5-w-ff 1	STIFF3b	Baja	<4.0	47	24	17.0	14.3	OK	
1 wf 200 100.5.5-w-ff 1	STIFF3b	Baja	<4.0	47	24	3.0	14.4	20.4	OK
1 wf 200 100.5.5-w-ff 1	STIFF3b	Baja	<4.0	47	24	3.4	17.1	19.9	OK
1 wf 200 100.5.5-w-ff 1	STIFF3b	Baja	<4.0	184	23	1.7	13.3	12.0	OK
1 wf 200 100.5.5-w-ff 1	STIFF3b	Baja	<4.0	184	23	16	15.4	10.6	OK
1 wf 200 100.5.5-w-ff 1	STIFF3b	Baja	<4.0	47	24	16.0	21.3	75.3	OK
1 wf 200 100.5.5-w-ff 1	STIFF3b	Baja	<4.0	47	24	17.0	14.3	OK	
EP2	4 WF 150.75.7-JB 1	Baja	<3.5	97	17	2.5	17.1	19.1	OK
			<3.5	86	21	2.5	18.2	15.6	OK

Sumber : Hasil Analisis Idea StatiCa

Sambungan B

Sambungan pada struktur ini menggunakan Idea StatiCa 9. Gaya-gaya yang diinput yaitu gaya axial, gaya geser dan momen yang didapat dari hasil output SAP 2000 v20 pada titik bentang sambungan yang dihitung sambungannya.

Gaya-gaya yang diinput pada sambungan



Sumber: Idea StatiCa 9

Input Gaya pada Idea StatiCa

Setelah penginputan data-data yang diperlukan Idea StatiCa 9 langkah selanjutnya kita melakukan pengecekan pada *Joint Design Resistance*.

Kontrol plat

Adapun hasil Analisa plat dari output Program Idea StatiCa 9 sebagai berikut.

Hasil Analisa plat

Plates						
Name	t_{min}	Thickness [mm]	Length	t_{max}	δ_{max}	Check status
2 v 200_100_5.5±0.1	235.3	8.0	COMB3	164.0	0.0	OK
2 v 200_100_5.5±0.1	235.3	8.0	COMB3	218.0	0.0	OK
2 v 200_100_5.5±0.1	235.3	8.0	COMB3	173.0	0.0	OK
1 v 200_100_5.5±0.1	235.3	8.0	COMB3	218.0	0.0	OK
1 v 200_100_5.5±0.1	235.3	8.0	COMB3	218.0	0.0	OK
PF1a	235.3	8.0	COMB3	283.0	0.0	OK
PF1b	235.3	8.0	COMB3	285.0	0.0	OK
W02a	235.3	8.0	COMB3	193.0	0.0	OK
W02b	235.3	8.0	COMB3	193.0	0.0	OK
W02c	235.3	8.0	COMB3	121.0	0.0	OK
W02d	235.3	8.0	COMB3	121.0	0.0	OK
STP17a	235.3	8.0	COMB3	13.0	0.0	OK
STP17b	235.3	8.0	COMB3	13.0	0.0	OK
STP17c	235.3	8.0	COMB3	48.4	0.0	OK
STP17d	235.3	8.0	COMB3	48.4	0.0	OK

Sumber : Hasil Analisa Ideo StatiCa 9

Kontrol baut

Adapun hasil analisis baut dari output Program Idea StatiCa 9 sebagai berikut.

Hasil Analisa hant

Sumber : Hasil Analisis Idea StatiCa 9

Analisis sambungan las

Adapun hasil analisis las dari output Program Idea StatiCa 9 sebagai berikut.

Hasil Analisis sambungan las

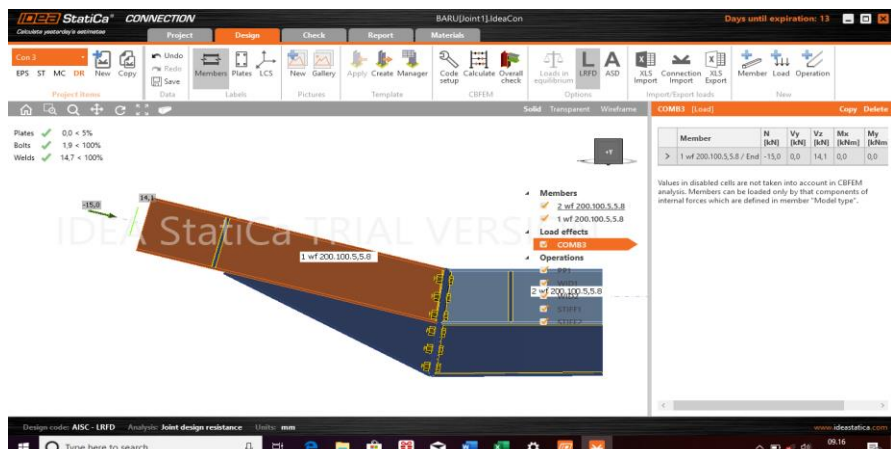
Welds										
Item	Edge	Xu	Tn [mm]	L [mm]	L [mm]	Lc [mm]	F [N]	σ ₀ [N/mm ²]	H ₁ [mm]	Status
PP1a	2 wf 200 100 5.5-B-II	E120xx	≤5.0	≤6.3	77	19	6.5	53.4	13.2	OK
PP1a	2 wf 200 100 5.5-B-II	E120xx	≤5.0	≤7.3	115	29	4.9	74.9	6.2	OK
PP1a	2 wf 200 100 5.5-B-II	E120xx	≤5.0	≤7.1	199	24	21.2	65.2	32.6	OK
PP1b	1 wf 200 100 5.5-B-II	E120xx	≤5.0	≤6.3	77	19	6.6	53.4	12.3	OK
PP1b	1 wf 200 100 5.5-B-II	E120xx	≤5.0	≤7.3	115	29	4.9	74.9	6.2	OK
PP1b	1 wf 200 100 5.5-B-II	E120xx	≤5.0	≤7.1	199	24	21.2	65.1	32.6	OK
PP1b	1 wf 200 100 5.5-B-II	E120xx	≤5.0	≤7.1	199	24	21.2	65.2	32.6	OK
PP1a	WID1a	E120xx	≤3.5	≤6.0	185	26	15.6	50.0	31.1	OK
2 wf 200 100 5.5-B-II	WID1a	E120xx	≤3.5	≤6.0	717	26	1.1	35.6	17.3	OK
WID1b	WID1b	E120xx	≤3.5	≤6.0	693	50	7.5	77.4	9.7	OK
PP1a	WID1b	E120xx	≤3.5	≤5.0	103	29	21.5	49.1	43.9	OK
2 wf 200 100 5.5-B-II	WID1b	E120xx	≤3.5	≤3.6	13	3	4.6	6.4	72.3	OK
PP1b	WID2a	E120xx	≤3.5	≤5.0	185	26	15.7	50.9	30.9	OK
1 wf 200 100 5.5-B-II	WID2a	E120xx	≤3.5	≤5.0	717	25	6.4	35.5	18.1	OK
WID2b	WID2a	E120xx	≤3.5	≤5.0	693	50	7.5	77.4	9.7	OK
PP1b	WID2b	E120xx	≤3.5	≤5.0	103	29	21.6	49.1	43.9	OK
1 wf 200 100 5.5-B-II	WID2b	E120xx	≤3.5	≤3.6	13	3	4.6	6.4	75.2	OK
1 wf 200 100 5.5-B-II	STIFF1a	E120xx	≤3.0	≤4.2	47	24	2.3	36.3	6.4	OK
1 wf 200 100 5.5-B-II	STIFF1a	E120xx	≤3.0	≤4.2	47	24	2.5	29.1	8.4	OK
1 wf 200 100 5.5-B-II	STIFF1a	E120xx	≤2.8	≤3.9	184	23	1.6	34.8	4.7	OK
1 wf 200 100 5.5-B-II	STIFF1a	E120xx	≤2.8	≤3.9	184	23	1.3	35.2	3.8	OK
1 wf 200 100 5.5-B-II	STIFF1b	E120xx	≤3.0	≤4.2	47	24	1.8	38.3	4.7	OK
1 wf 200 100 5.5-B-II	STIFF1b	E120xx	≤3.0	≤4.2	47	24	2.5	38.6	6.4	OK
1 wf 200 100 5.5-B-II	STIFF1b	E120xx	≤2.8	≤3.9	184	23	1.6	34.8	4.7	OK
1 wf 200 100 5.5-B-II	STIFF1b	E120xx	≤2.8	≤3.9	184	23	1.3	35.2	3.8	OK
1 wf 200 100 5.5-B-II	STIFF1b	E120xx	≤3.0	≤4.2	47	24	2.5	38.6	6.4	OK
2 wf 200 100 5.5-B-II	STIFF2a	E120xx	≤3.0	≤4.2	47	24	1.8	38.3	4.7	OK
2 wf 200 100 5.5-B-II	STIFF2a	E120xx	≤3.0	≤4.2	47	24	2.3	36.3	5.9	OK
2 wf 200 100 5.5-B-II	STIFF2a	E120xx	≤2.8	≤3.9	184	23	1.5	34.8	4.2	OK
2 wf 200 100 5.5-B-II	STIFF2a	E120xx	≤2.8	≤3.9	184	23	1.2	35.2	3.8	OK
2 wf 200 100 5.5-B-II	STIFF2a	E120xx	≤3.0	≤4.2	47	24	1.7	38.4	4.4	OK
2 wf 200 100 5.5-B-II	STIFF2a	E120xx	≤3.0	≤4.2	47	24	2.3	38.8	5.7	OK
2 wf 200 100 5.5-B-II	STIFF2b	E120xx	≤3.0	≤4.2	47	24	2.1	36.3	5.9	OK
2 wf 200 100 5.5-B-II	STIFF2b	E120xx	≤2.8	≤3.9	184	23	1.2	35.2	3.5	OK
2 wf 200 100 5.5-B-II	STIFF2b	E120xx	≤2.8	≤3.9	184	23	1.5	34.8	4.2	OK

Sumber : Hasil Analisis Idea StatiCa

Sambungan C

Sambungan pada struktur ini menggunakan Idea StatiCa 9. Gaya-gaya yang diinput yaitu gaya axial, gaya geser dan momen yang didapat dari hasil output SAP 2000 v20 pada titik bentang sambungan yang dihitung sambungannya.

Gaya – gaya yang diinput pada sambungan



Sumber: Idea StatiCa 9

Input Gaya pada Idea StatiCa

Setelah penginputan data-data yang diperlukan Idea StatiCa 9 langkah selanjutnya kita melakukan pengecekan pada *Joint Design Resistance*.

Kontrol plat

Adapun hasil Analisa plat dari output Program Idea StatiCa 9 sebagai berikut.

Hasil Analisis plat

Plates	Name	F_y [MPa]	Thickness [mm]	Loads	σ_{ed} [MPa]	ϵ_{pl} [%]	Check status
2 wf 200 100 5,5 s-tf 1	PP1a	235,3	8,0	COMB3	22,4	0,0	OK
2 wf 200 100 5,5 s-tf 1	PP1b	235,3	8,0	COMB3	6,2	0,0	OK
2 wf 200 100 5,5 s-w 1	WID1a	235,3	5,5	COMB3	19,7	0,0	OK
1 wf 200 100 5,5 s-tf 1	WID1b	235,3	5,5	COMB3	78,2	0,0	OK
1 wf 200 100 5,5 s-tf 1	WID2a	235,3	8,0	COMB3	96,3	0,0	OK
1 wf 200 100 5,5 s-w 1	WID2b	235,3	5,5	COMB3	70,6	0,0	OK
PP1a	PP1b	235,3	8,0	COMB3	8,6	0,0	OK
WID1a	WID1b	235,3	5,5	COMB3	9,6	0,0	OK
WID2a	WID2b	235,3	8,0	COMB3	11,3	0,0	OK
STIFF1a	STIFF1b	235,3	5,5	COMB3	12,4	0,0	OK
STIFF2a	STIFF2b	235,3	8,0	COMB3	37,9	0,0	OK
STIFF3a	STIFF3b	235,3	6,0	COMB3	32,8	0,0	OK
STIFF4a	STIFF4b	235,3	6,0	COMB3	11,9	0,0	OK
STIFF5a	STIFF5b	235,3	6,0	COMB3	2,8	0,0	OK
STIFF6a	STIFF6b	235,3	6,0	COMB3	2,8	0,0	OK

4 / 39

Project: IDEA StatiCa
Project no:
Author:

Sumber : Hasil Analisa Idea StatiCa 9

Kontrol baut

Adapun hasil analisa baut dari output Program Idea StatiCa 9 sebagai berikut.

Hasil Analisis baut

Bolts										
Shape	Item	Grade	Loads	F_t [kN]	V [kN]	$\Phi R_n, bearing$ [kN]	U_t (%)	U_p (%)	U_s (%)	Status
B11	16 A325M - 1	COMB3	0,0	1,1	83,4	0,1	1,9	-	OK	
B12	16 A325M - 1	COMB3	0,0	1,1	83,4	0,1	1,9	-	OK	
B13	16 A325M - 1	COMB3	0,0	1,1	83,6	0,0	1,9	-	OK	
B14	16 A325M - 1	COMB3	0,0	1,1	83,6	0,0	1,9	-	OK	
B15	16 A325M - 1	COMB3	0,0	1,0	83,6	0,0	1,8	-	OK	
B16	16 A325M - 1	COMB3	0,0	1,0	83,6	0,0	1,8	-	OK	
B17	16 A325M - 1	COMB3	0,0	1,0	83,6	0,0	1,8	-	OK	
B18	16 A325M - 1	COMB3	0,0	1,0	83,6	0,0	1,8	-	OK	
B19	16 A325M - 1	COMB3	0,0	0,9	83,6	0,0	1,7	-	OK	
B20	16 A325M - 1	COMB3	0,0	0,9	83,6	0,0	1,7	-	OK	
B21	16 A325M - 1	COMB3	0,2	0,9	64,8	0,2	1,0	-	OK	
B22	16 A325M - 1	COMB3	0,2	0,9	64,8	0,2	1,0	-	OK	

Design data		$\Phi R_n, tension$ [kN]	$\Phi R_n, shear$ [kN]
Grade	16 A325M - 1	93,5	56,1

Symbol explanation	
T_h	Tension force
V	Resultant of shear forces V_y , V_z in bolt
$\Phi R_n, bearing$	Bolt bearing resistance
U_t	Utilization in tension
U_p	Utilization in shear
U_s	Utilization in tension and shear
$\Phi R_n, tension$	Bolt tension resistance AISC 360-16 J3.6
$\Phi R_n, shear$	Bolt shear resistance AISC 360-16 – J3.8

Detailed result for B11

Sumber : Hasil Analisa Idea StatiCa 9

Analisis sambungan Las

Adapun hasil Analisa las dari output Program Idea StatiCa 9 sebagai berikut.

Hasil analisis sambungan las

Welds										
Item	Edge	X_u	T_h [mm]	L_s [mm]	L [mm]	L_e [mm]	F_n [kN]	ΦR_n [kN]	U_f (%)	Status
E120xx		3,0	4,2	47	24	0,1	37,5	0,3	OK	

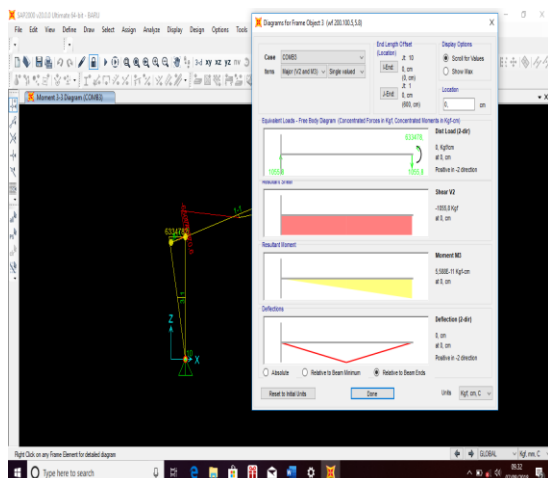
Detailed result for PP1a / 2 wf 200,100,5,5-s-tf 1 - 1

Weld resistance check (AISC 360-16- J2-4)
 $\phi R_n = \phi \cdot F_{nw} \cdot A_{we} = 75,2 \text{ kN} \times F_n = 1,8 \text{ kN}$
 Where:
 $F_{nw} = 738,8 \text{ MPa}$ – nominal stress of weld material

Sumber : Hasil Analisis Idea StatiCa

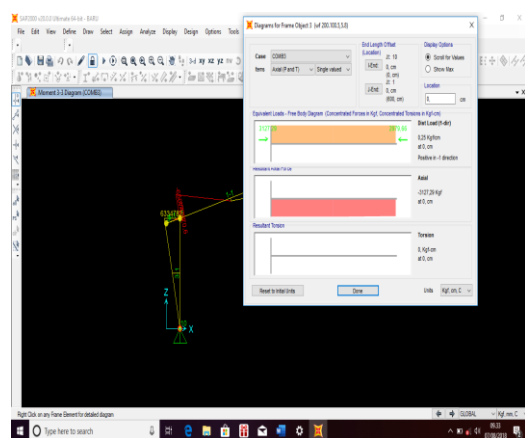
Sambungan pada base

Data perhitungan :



Sumber : SAP 2000

Momen dan Geser



Sumber : SAP 2000

Gaya Aksial

$$V_u = 1055,8 \text{ kg}$$

$$P_u = 3127,29 \text{ kg}$$

$$M_u = 0,00000000005588 \text{ kg.cm}$$

Data Profil WF 200 x 100

$$\text{Panjang batang} = L = 8.375 \text{ m}$$

$$b = 10 \text{ cm}$$

$$h = 20 \text{ cm}$$

$$tf = 0,8 \text{ cm}$$

$$tw = 0,55 \text{ cm}$$

$$r = 1,1 \text{ cm}$$

$$A = 27,16 \text{ cm}^2$$

$$I_x = 1840 \text{ cm}^4$$

$$I_y = 134 \text{ cm}^4$$

Gaya tarik pada flens akibat momen:

$$T_u = C_u = \frac{M_u}{0,95 \cdot h} = \frac{0,00000000005588 \text{ kg cm}}{0,95 \cdot 20} = 0,000000000002941 \text{ kg}$$

Penentuan dimensi pelat dasar

Luas bidang plat dasar perlu (A_1 perlu)

$$P_u \leq \phi \cdot P_p$$

$$P_u \leq \phi \cdot (0,85 \cdot f_c \cdot A_1)$$

$$3127,29 \text{ kg} \leq 0,6 \cdot (0,85 \cdot 24 \cdot A_1)$$

$$A_1 \geq 255,497 \text{ mm}^2$$

Dimensi plat dasar

$$B = 240 \text{ mm} = 24 \text{ cm}$$

$$\begin{aligned} N &= 280 \text{ mm} & = 28 \text{ cm} \\ A &= 240 \times 280 \\ &= 67200 \text{ mm}^2 > 255,49 \text{ mm}^2 \dots \text{ok} \end{aligned}$$

Tebal pelat dasar

Penentuan nilai m dan n

$$\begin{aligned} 0,8 \cdot b &= 0,8 \cdot 10 = 8 \text{ cm} \\ 0,95 \cdot d &= 0,95 \cdot 20 = 19 \text{ cm} \\ m &= 0,5 (N - 0,95 d) = 0,5 (28 - 19) = 4,5 \text{ cm} \\ n &= 0,5 (B - 0,8 b) = 0,5 (28 - 8) = 10 \text{ cm} \\ t_p &= \sqrt{\frac{2 \cdot p_u \cdot n^2}{B \cdot N \cdot 0,9 f_y}} = \sqrt{\frac{2 \cdot 3127,29 \cdot 10^2}{24 \cdot 28 \cdot 0,9 \cdot 2400}} \\ &= 0,66 \text{ cm} = 6,6 \text{ mm} < 8 \text{ mm} \dots \text{ok} \end{aligned}$$

Kontrol tebal dasar

$$\begin{aligned} P_u &= 3127,29 \text{ kg} \\ M_u &= 0,0000000005588 \text{ kg.cm} \\ A &= 24 \times 28 = 672 \text{ cm}^2 \\ S &= 1/6 \times 24 \times 28^2 = 3136 \text{ cm}^2 \\ f_p &= \frac{P_u}{A} \pm \frac{M_u}{S} = \frac{3127,29}{672} \pm \frac{0}{3136} = \\ f_p &= 4,654 \text{ kg/cm}^2 \text{ (tegangan tekan)} \end{aligned}$$

Gaya jangkar akibat gaya tarik :

$$\begin{aligned} T_u &= 1/2 \cdot f_p \cdot B \\ T_u &= 1/2 \times 4,654 \times 28 \\ T_u &= 65,15 \text{ kg} \end{aligned}$$

Jumlah angkaer yang diperlukan :

$$A = \frac{T_u}{\phi \cdot 0,75 \cdot f_y} = \frac{65,15}{0,75 \cdot 0,75 \cdot 2400} = 0,05 \text{ cm}^2$$

Dipakai baut jangkar Ø 5/8" = 1,588 cm,

Luas penampang baut = 1,98 cm².

$$n = \frac{A}{A_{baut}} = \frac{0,05}{\frac{1}{4} \pi \cdot 1,588^2} = 0,024$$

Dipakai 4 Baut

Kontrol kekuatan geser

$$V_u = 1055,8 \text{ kg}$$

$$R_n = \phi (0,6 F_u^b) m \cdot A_b$$

Dengan :

$\phi = 0,65$ faktor reduksi kekuatan untuk
fraktur

$$\begin{aligned} F_u^b &= \text{kekuatan tarik bahan baut (12 ksi untuk} \\ &\text{baut mutu A235)} \\ &= 8436,2328 \text{ kg/cm}^2 \end{aligned}$$

m = jumlah bidang geser (irisan tunggal = 1)

$$A_b = 1/4 \cdot \pi \cdot 1,588^2 = 1,98 \text{ cm}^2$$

Maka :

$$\begin{aligned} R_n &= \phi (0,6 F_u^b) m \cdot A_b \\ &= 0,65 \times (0,6 \times 8436,2328) \times 1,98 \\ &= 6514,459 \text{ Kg} \end{aligned}$$

Kekuatan geser total baut :

$$R_n \cdot n_{baut} = 6514,459 \text{ Kg} \times 4 = 26057,84 \text{ kg} > V_u = 1055,8 \text{ kg} \dots \text{Ok}$$

Jarak baut angker :

Jarak baut tepi arah B

$$1,5d \leq S_1 \leq 12 t_p$$

$$1,5 \cdot 1,588 \leq S_1 \leq 12 \cdot 0,75 \text{ cm}$$

$$2,382 \text{ cm} \leq S_1 \leq 9 \text{ cm}$$

$$S_1 = 4,5 \text{ cm....Ok}$$

Jarak antar baut arah B

$$2,5d \leq S_2 \leq 28 t_p$$

$$2,5 \cdot 1,588 \leq S_2 \leq 28 \cdot 0,75 \text{ cm}$$

$$3,97 \text{ cm} \leq S_2 \leq 21 \text{ cm}$$

$$S_2 = 15 \text{ cm....Ok}$$

Jarak baut tepi arah N

$$1,5d \leq S_1 \leq 12 t_p$$

$$1,5 \cdot 1,588 \leq S_1 \leq 12 \cdot 0,75 \text{ cm}$$

$$2,382 \text{ cm} \leq S_1 \leq 9 \text{ cm}$$

$$S_1 = 8 \text{ cmOk}$$

Jarak antar baut arah N

$$2,5d \leq S_2 \leq 28 \text{ cm} . t_p$$

$$2,5 \cdot 1,588 \leq S_2 \leq 28 \cdot 0,75 \text{ cm}$$

$$3,1 \text{ cm} \leq S_2 \leq 21 \text{ cm}$$

$$S_2 = 12 \text{ cm....Ok}$$

Analisa las pada sambungan pelat dasar

Tebal maksimum las : (tidak ada ketentuan khusus untuk kasus ini). Digunakan ukuran nominal las fillet = 0,5 inch = 12,7 mm, dengan leher efektif = 0,3535 inch = 8,979 mm

Ketentuan desain las fillet :

$$\phi R_{nw} = \phi \cdot t_e \cdot (0,60 F_{EXX})$$

t_e = dimensi leher efektif

F = kekuatan tarik material elektroda

las (pakai 30 ksi = 2109,21 kg/cm²)

$$\phi R_{nw} = \phi \cdot t_e \cdot (0,60 F_{EXX})$$

$$= 0,75 \cdot 0,898 \cdot (0,6 \cdot 2109,21)$$

$$= 852,332 \text{ kg/cm}$$

Kekuatan yang diberikan oleh las fillet :

$$V = L_w \cdot (\phi \cdot R_{nw})$$

Dengan pajang las yang menahan tarik diasumsikan hanya sayap bagian luar

$$L_w = 2 \cdot b_f - t_w$$

$$= 2 \cdot 10 - 0,55$$

$$= 19,45 \text{ cm}$$

Maka :

$$V = 19,45 \cdot 852,332 = 16577,853 \text{ kg} > V_u = 1055,8 \text{ kg ... ok}$$

4. CONCLUSION

Berdasarkan data yang telah dikumpulkan & telah dilakukan evaluasi & analisa maka dapat diambil kesimpulan, secara keseluruhan, kuda-kuda tersebut mengalami kekurangan dalam penentuan diameter ikatan angin yang digunakan, sedangkan untuk elemen struktur yang lain sudah memenuhi. ambungan pada titik simpul sudah mencukupi dikarenakan mampu menahan gaya – gaya yang bekerja pada sambungan titik simpul pada konstruksi tersebut sesuai dengan lampiran output Analisa program Idea StatiCa

5. REFERENCES

Anonim., (2002). *Tata Cara Perhitungan Struktur Beton untuk Bangunan Gedung, SNI03-2847-2002*.

Peraturan Baja, (1984). Menggunakan *Peraturan Perencanaan Bangunan Baja Indonesia*, Yayasan Lembaga Penyelidikan Masalah Bangunan.

- Setiawan Agus. (2008). *Perencanaan Struktur Baja dengan Metode LRFD edisi I & II (berdasarkan SNI 03-1729-2002)*, PT. Penerbit Erlangga.
- Peraturan Pembebanan, (1983). Menggunakan Peraturan Pembebanan Indonesia Untuk Gedung,Direktorat Penyelidikan Masalah Bangunan, Bandung.
- Salmon C. G dan Johnson J. e, (1994).*Struktur Baja DDesain Dan Perilaku I dan II*, Jakarta : PT. Gramedia Pustaka Utama.
- W, Dewobroto. (2008) *Evaluasi Kinerja Bangunan Baja Tahan Gempa dengan SAP 2000*. uph.tripod.c